

义乌市 2023 届高三适应性考试

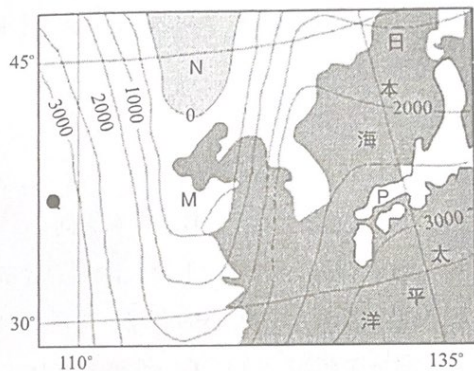
地理 试 卷

一、选择题 I (本大题共 20 小题, 每小题 2 分, 共 40 分。每小题列出的四个备选项中只有一个是符合题目要求的, 不选、多选、错选均不得分。)

党的十八大以来, 革命老区井冈山贯彻新发展理念, 加强通信网络建设, 推动经济高质量发展。随着网络全覆盖, 农民通过开网店, 直播卖货, 足不出户就可将农林土特产品迅速销往全国各地。据此完成 1~2 题。

- 直播卖货让井冈山的农林土特产品不愁卖了, 这主要得益于
A. 产业产能提升 B. 产品工艺革新 C. 基础设施改善 D. 生产成本降低
- 井冈山大力发展“互联网+电商”, 可进一步
①促进人口集聚 ②助力产品销售 ③夯实产业根基 ④实现增产增收
A. ①②③ B. ①②④ C. ①③④ D. ②③④

地理学家通过研究不同时期雪线高度变化来推知地球环境变迁。右图示意更新世晚期(距今 1.15 万—7 万年)亚洲东部部分地区雪线高度(单位: m)分布。据此完成 3~4 题。



- 更新世晚期, 图中 N 阴影区的地理景观最可能是
A. 草原 B. 沙漠 C. 冰川 D. 森林
- 与 M 处相比, 导致图中 P、Q 两处数值较高的主要因素分别为
A. 降水、气温 B. 气温、降水 C. 降水、地形 D. 地形、降水

北京某校中学生在密云水库周边开展“植被与土壤”的主题实践活动。经调查: 水库周边的山地曾因常年采石, 山体裸露, 土层薄, 森林覆盖率极低。近十几年, 当地开展以植树造林为主的生态修复工程后, 森林覆盖率已达 90% 以上。右图为学生手绘的活动地示意图。读图完成 5~6 题。



- 推测学生测得土壤含水量最高的地点可能是
A. 甲 B. 乙 C. 丙 D. 丁

6. 此地开展生态修复后

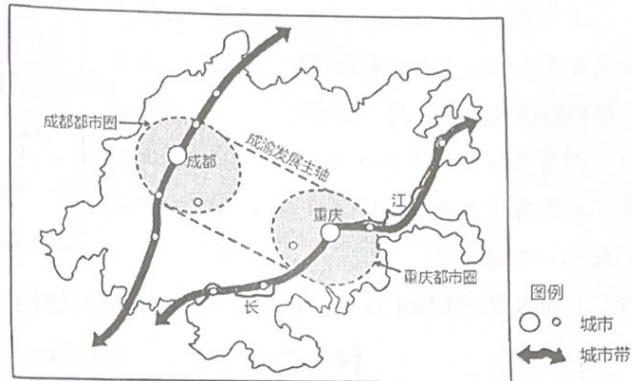
A. 降水量增加, 气温日较差增大

B. 水库含沙量减少, 库容量增加

C. 水库流域面积增加, 湖岸线变长

D. 生物多样性增加, 地表径流激增

2021年10月, 中共中央、国务院印发《成渝地区双城经济圈建设规划纲要》, 提出强化重庆和成都中心城市带动作用, 引领成渝地区统筹协同发展, 推动成渝地区形成有实力、有特色的双城经济圈(右图), 进一步促进长江经济带的快速发展。据此完成7~8题。



7. 关于成渝地区的发展, 叙述正确的是

A. 位于长江中游经济带, 带动作用最强

B. 与长三角优势互补, 协作互动

C. 各主要城市均衡发展, 分工明确

D. 依托长江航道, 减弱陆路交通

8. 成渝双城经济圈统筹协同发展, 对地域文化的影响是

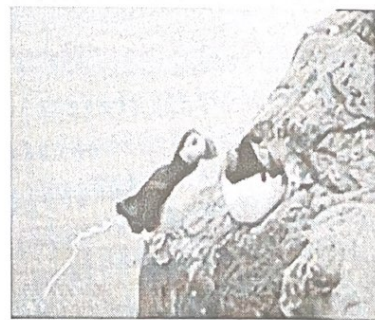
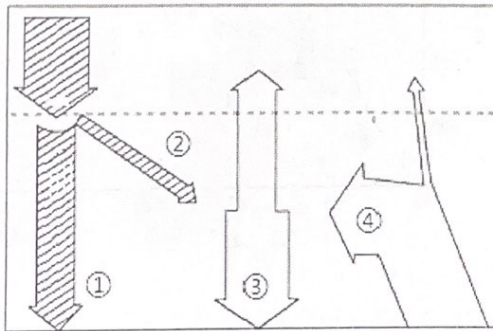
A. 扩大地域文化的影响力

B. 强化地域文化的独特性

C. 保护地域文化的稳定性

D. 减弱地域文化的多样性

最新研究发现, 鸟粪可以影响北极气温变化。每年迁徙至北极地区的鸟类产生的鸟粪被微生物分解后, 会释放约4万公吨的氨, 氨与海水浪花喷洒出的硫酸盐及水分子混合后, 形成大量悬浮在空气中的尘埃颗粒。这些尘埃颗粒物不仅集中在鸟群附近, 在整个北极均有分布。下列左图示意大气受热过程, 右图示意北极地区海鸟。读图完成9~10题。



9. 鸟粪对北极地区气温的影响及其原理是

A. 升高, ④增强

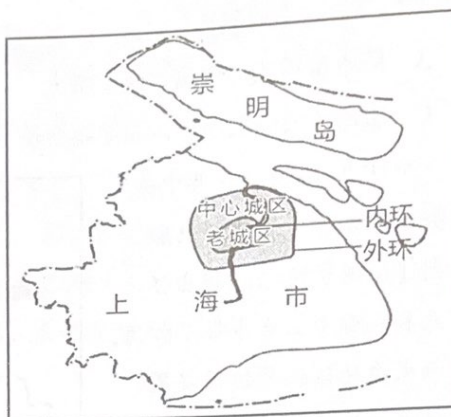
B. 升高, ③增强

C. 降低, ②减弱

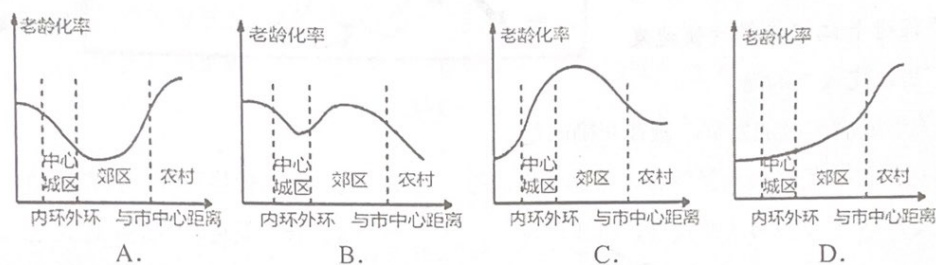
D. 降低, ①减弱

10. 北极气温的这种变化, 可能导致该地区
- A. 昼夜温差变大 B. 海冰加速融化
- C. 极地东风加强 D. 降水量增加

上海外环是中心城区和郊区的边界。目前产业园区和大学城主要分布在郊区, 仅西部、南部等远郊和崇明岛为农村。第七次人口普查数据显示上海常住人口中老年人口的空间分布差异显著。右图为“上海中心城区位置示意图”。据此完成 11-12 题。



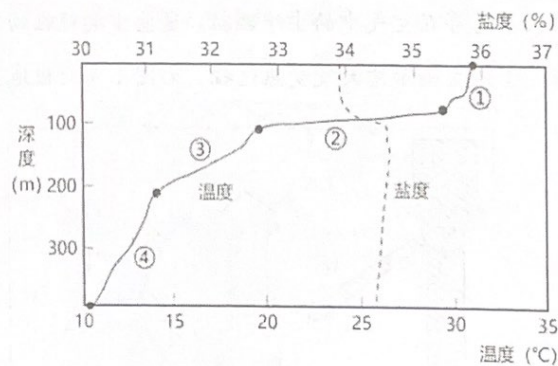
11. 下列四图中正确示意上海老龄化率空间分布特点的是



12. 对上海老龄化率空间分布解释正确的是

- A. 中心城区通达度高, 吸引大量的劳动力流入, 老龄化率低
- B. 农村发展空间大, 年轻人由上海郊区流向农村, 老龄化率低
- C. 中心城区因房价低, 居住环境差, 老人留守老城区, 老龄化率较高
- D. 郊区因房价低, 就业机会多, 吸引大量劳动力流入, 老龄化率低

海洋混合层是指海-气相互作用和风浪搅拌作用使海洋近表层产生的厚度一定、水温均一的水层。其下为水温急剧下降的温跃层, 这里常常成为生物以及海水环流的一个重要分界面。右图为 2020 年 8~11 月我国南海中沙群岛海域多个观察站海水温度和盐度的垂直分布统计图。据此完成 13~14 小题。



13. 图中温跃层是

- A. ① B. ② C. ③ D. ④

14. 结合相关知识判断, 图中海域温跃层深度达到一年中最深的季节是

- A. 春季 B. 夏季 C. 秋季 D. 冬季

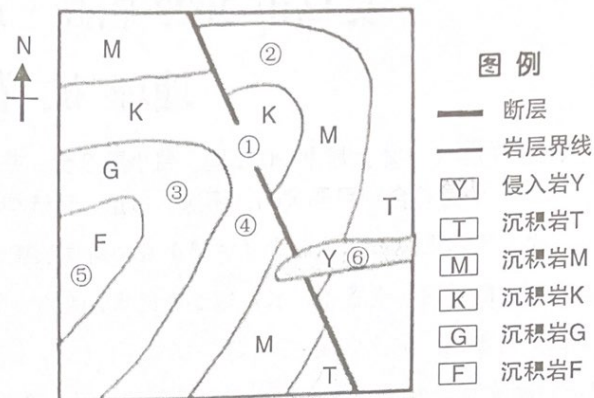
下图为我国某地地质图，图中褶皱为背斜构造。完成15~16题。

15. 图中岩层及 50 断层形成按由老到新排序正确的是

- A. ⑤③④②①⑥
- B. ⑤③④①②⑥
- C. ②④③⑤⑥①
- D. ②④③⑤①⑥

16. 图中

- A. Y 岩体有明显气孔构造
- B. F 岩层因挤压质地紧密
- C. 断层西南侧向南移动
- D. 断层东北侧相对下降



数据中心是指海量数据信息集中处理、保存、传输、交换和管理的计算资源、存储资源、网络资源及其物理空间。数据中心是数字经济时代支撑数字化和信息化转型的关键基础设施，其宏观布局遵循市场需求导向、成本导向、运营环境导向和安全导向四大原则。据此完成 17~18 题。

17. 2017 年之前，与京津冀、长三角、珠三角和成渝城市群的距离越短，越容易吸引数据中心布局，其布局主要表现为

- A. 市场需求导向
- B. 成本导向
- C. 运营环境导向
- D. 安全导向

18. 自 2017 年起，北京、上海、深圳等经济发达城市设置了数据中心准入标准，限制超大规模和高能耗数据中心的布局，这种限制主要考虑数据中心

- A. 网络时延高
- B. 维护成本高
- C. 人力成本高
- D. 碳排放量高

2021 年唯一的日全食从格林尼治时间 6 点开始，持续约 2 个小时。

右图为一群天文爱好者在 (100° W、70° S) 的某地点拍摄的此次日全食全过程 (多次曝光合成)。据此完成 19-20 题。



19. 照片拍摄时，相机镜头朝向

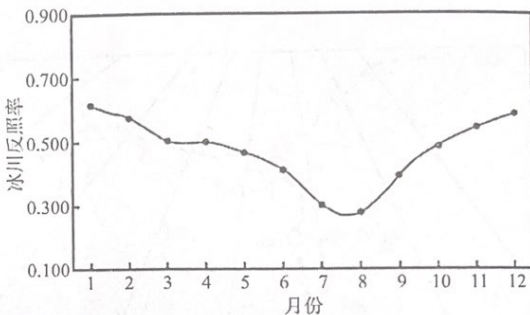
- A. 东
- B. 南
- C. 西
- D. 北

20. 推测拍摄地当天太阳高度角的变化幅度约为

- A. 47°
- B. 20°
- C. 23.5°
- D. 40°

二、选择题 II (本大题共 5 小题, 每小题 3 分, 共 15 分。每小题列出的四个备选项中只有一个是符合题目要求的, 不选、多选、错选均不得分。)

冰川反照率是指冰川表面反射太阳辐射能量与吸收太阳辐射能量的比值。冰川反照率存在显著的时空差异, 主要跟积雪、裸冰范围、吸光性杂质含量和太阳入射角等因素有关。木斯岛冰川位于萨吾尔山北坡, 不同时期 3600 米以上的冰川反照率都会随海拔升高而降低。左图为木斯岛冰川分布图, 下图为 2011~2021 年木斯岛冰川反照率各月平均变化图。据此完成 21-22 题。



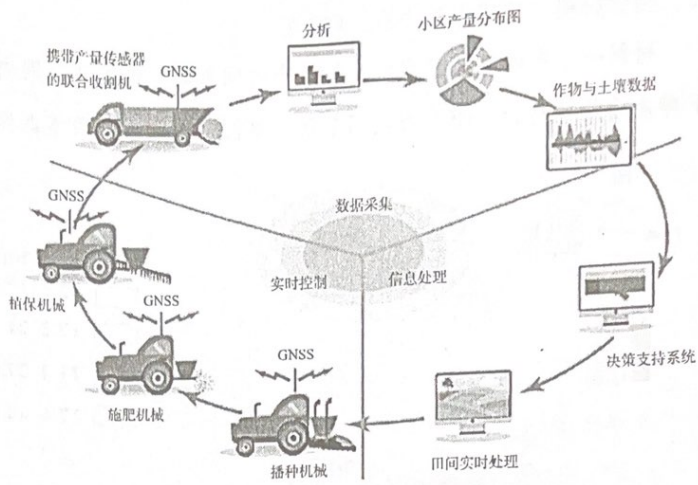
21. 木斯岛冰川反照率月平均最低值出现在 8 月, 主要原因是
- A. 降水量大 B. 植被覆盖率高 C. 冰川消融大 D. 太阳高度角大
22. 木斯岛冰川反照率在海拔 3600 米以上, 总体随海拔升高而降低的主要原因是
- A. 坡越陡, 冰雪堆积越难 B. 海拔越高植被越少
- C. 海拔越高太阳入射角越小 D. 海拔越高降水越少

机器人的普及缓解了企业劳动力短缺的问题, 但也给劳动力市场带来了巨大冲击, “机器换人”对中国制造业就业人口的影响尤为突出。下表示意我国制造业机器人使用量的增加导致劳动力流向其他行业的概率(数字越大, 代表流向该行业的劳动力数量越多)。据此完成 23-24 题。

产业类型	农业	服务业	
		生产性服务业	生活性服务业
概率	0.005	0.003	0.012

23. 影响劳动力被机器人所替代的概率的主要因素是
- A. 年龄大小 B. 性别 C. 技能水平 D. 从业时长
24. “机器换人”后, 流向生产性服务业的劳动力较生活性服务业少很多的主要原因是生产性服务业
- ①创造的就业岗位数量少 ②生产效率较低 ③发展速度较缓慢 ④专业水平要求高
- A. ①② B. ②③ C. ③④ D. ①④

精准农业是指以 3S 空间信息技术和作物生产管理决策支持系统为基础，面向农田生产的精细农作方式。读右图完成第 25 题。



25. 关于地理信息技术描述正确的是

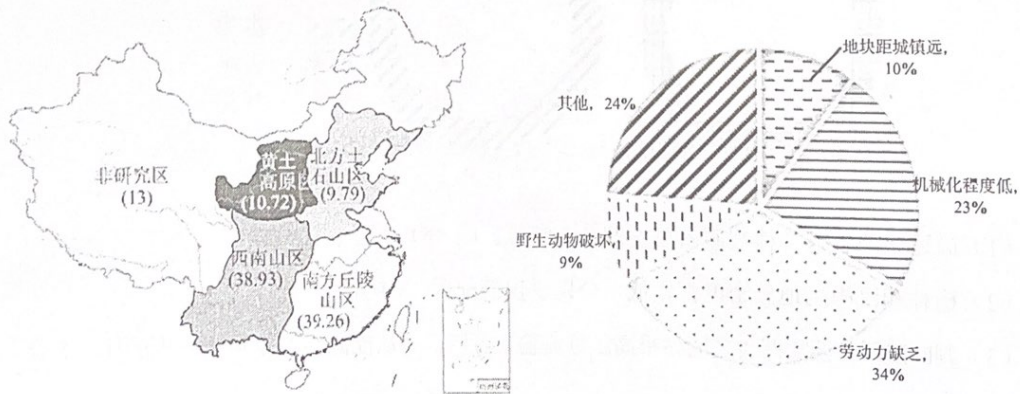
- ①利用 GIS 技术快速获取墒情、苗情、土壤养分、病虫害等信息
- ②利用 RS 技术整合各种数据资料，建立农田管理信息系统
- ③利用 GNSS 技术采集农田信息，指导农机精准作业
- ④利用 RS 技术为农业生产提供实时依据

A. ①② B. ②③ C. ③④ D. ①④

三、非选择题（本大题共 3 小题，共 45 分）

26. 阅读材料，完成下列小题。（12 分）

梯田是山区质量较高的耕地，是人们长期改造自然，适应自然的结果。20 世纪 80 年代以来，随着城镇化和工业化的快速发展，我国山区耕地出现大量撂荒梯田。撂荒梯田是指连续 2 年以上未种植任何作物任其荒芜的梯田。下图示意我国不同区域梯田面积占全国梯田总面积的百分比及梯田撂荒原因。



- (1) 指出南方地区有大面积梯田分布的自然条件。（3 分）
- (2) 从城镇化角度，分析山区梯田撂荒的原因（4 分）
- (3) 从产业融合发展的角度，提出减缓梯田撂荒的措施。（5 分）

27. 阅读材料，完成下列小题。(13分)

材料一：森林植被碳密度是指某个时间点的一定区域范围内单位面积森林植被地上和地下部分碳储量总和。图1为我国某区域略图，图2为陕西省森林植被碳密度空间分布图。

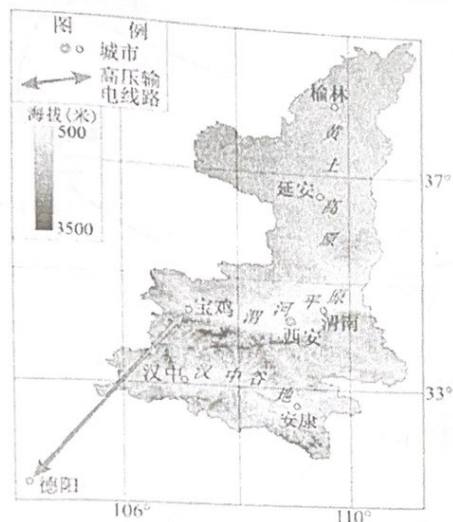


图1

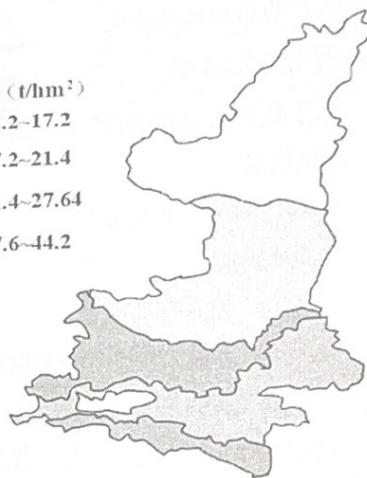
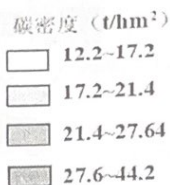


图2

材料二：陕西和四川两省的宝德（宝鸡—德阳）高压直流输电工程在实现区域电网之间削峰填谷中具有立竿见影的效果。图3为陕西和四川发电结构占比图。

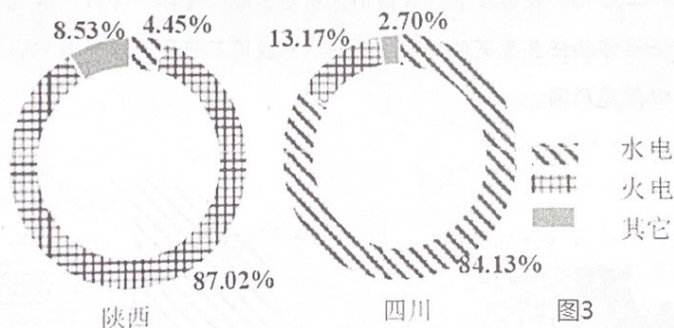


图3

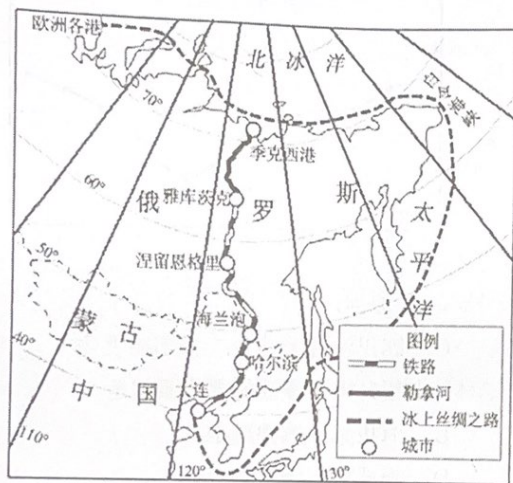
- 简述陕西省森林植被碳密度空间分布特点。(4分)
- 榆林和汉中两地碳密度都较低，分别说出其原因。(4分)
- 判断陕西和四川两省之间冬季高压直流输电方向，并从能源结构差异分析其原因。(5分)

28. 阅读图文资料，完成下列要求。

材料一：俄罗斯远东地区有丰富的矿产及旅游资源，但开发程度较低，勒拿河干、支流解冻期时广泛使用浮运木筏，很少有桥梁相通。

材料二：俄罗斯奥伊米亚康为北半球寒极，是世界最寒冷的永久定居点之一，居民以长寿著称。该地住房为木屋，木桩深埋地下，木桩上面盖房，木屋与地面最少有0.9米的间隔距离（如图所示）。

材料三：我国与俄罗斯积极开展北极航道合作，共同打造“冰上丝绸之路”。随着中国一带一路的推进，“中俄陆—河联运线路”被提出。该路线自中国大连起，通过铁路运输至俄罗斯雅库茨克，后转勒拿河水路运输到达季克西港，再向西到欧洲各大港。下图为“冰上丝绸之路”与“中俄陆—河联运线路”示意图。



- (1) 解释勒拿河下游“河上很少有桥”的原因。(5分)
- (2) 分析奥伊米亚康住房多为木屋且距离地面0.9米高度的原因。(5分)
- (3) 与冰上丝绸之路相比，指出中俄陆—河联运线路的优缺点。(5分)
- (4) 说明中俄陆—河联运线路的建设对俄罗斯社会经济发展的积极影响。(5分)